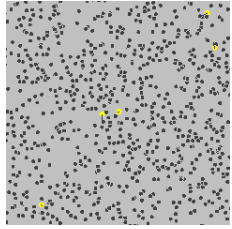


A termodynamika 2. főtételle kis rendszerekben

Osváth Szabolcs

Semmelweis Egyetem

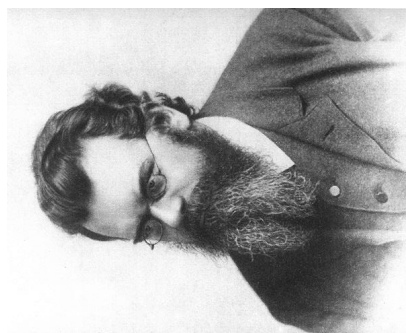
Az anyag nem folytonos, hanem részecskékben áll.



Brown mozgás

Statisztikus mechanika

statisztikus mechanika:
a makroszkopikus rendszerek tulajdonságait értelmezi a valószínűségszámítás és mechanikai eszközeit alkalmazva a mikrovilágra (atomok, molekulák)

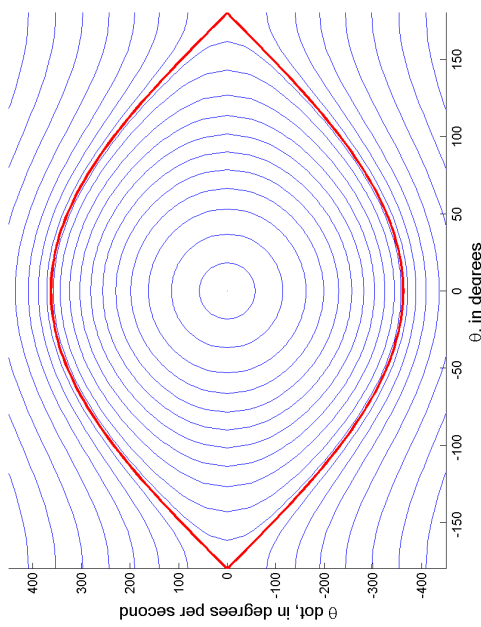


Ludwig Eduard Boltzmann
(1844 – 1906)

A mechanika mozgássegélyenletei

$$\begin{aligned}\dot{p}_j &= -\frac{\partial H}{\partial q_j} & H &= K + V \\ \dot{q}_j &= \frac{\partial H}{\partial p_j} & K &= \frac{p^2}{2m} \\ V &= V(q)\end{aligned}$$

Fázistér



Sokatmos rendszer fázistere

N részecskeből álló rendszer állapotát megadja egy pont a $6N$ -dimenziós fázistérben q_i koordinákkal, p_i momentumokkal kifejezve.

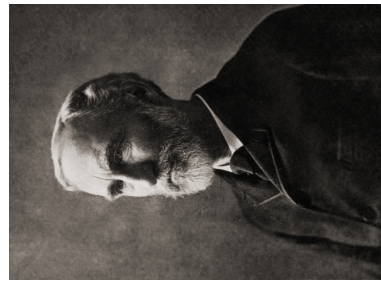
Feltéve, hogy az energia (E) állandó, a jellemző pont a fázistérben egy pályát ír le az $E(q_i, p_i) = \text{állandó}$ felszínen.

Liouville egyenlet

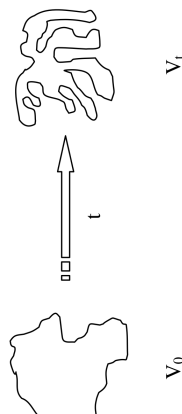
$\rho(q, p)$ valószínűség sűrűség függvény a fázistérben

$\rho(q, p) d^n q d^n p$ annak a valószínűsége, hogy a rendszert a (q, p) körötti infinitezimálisan kicsi $d^n q d^n p$ térfogatban találjuk $\rho(q, p; t)$ -nek a t időbeli fejlődését a Liouville egyenlet adja meg

$$\frac{d\rho}{dt} = \frac{\partial \rho}{\partial t} + \sum \left(\frac{\partial \rho}{\partial q_i} \dot{q}_i + \frac{\partial \rho}{\partial p_i} \dot{p}_i \right) = 0$$



Josiah Willard Gibbs
(1839 – 1903)



V_t

Liouville tétele

Ha a fázistér egy tetszőleges V_0 tartományát, mint kezdeti feltételek halmazát tekintjük, akkor a trajektoriák bármely t pillanatban egy ugyanilyen térfogatú V_t halmazt alkotnak

Ergodikus hipotézis

Az izolált rendszert jellemző pont pályája a fázistérben az $E(q_i, p_j) = \text{állandó}$ felszínen (alterben) mozog.

Ergodikus hipotézis:

- Az az idő, amit a rendszer a felszín egy adott tartományában tölt arányos a tartomány térfogatának nagyságával.
- A rendszert jellemző pont pályája a fázistérben az $E(q_i, p_j) = \text{állandó}$ felszínen mozogva véges idő után a felszín minden pontjához tetszőlegesen közel kerül.

Ergodikus hipotézis

Az ergodikus hipotézis a sokaságra és az időre vett átlagolás ekvivalenciáját jelenti. (Egyedi molekula vonatkozások.)

$$\langle f \rangle = \int f d\mu$$

$$\bar{f} = \lim_{T \rightarrow \infty} \frac{1}{T} \int_0^T f(x(t)) dt$$

$$\bar{f} = \langle f \rangle$$

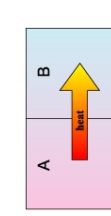
Poincaré visszatérési téte



Jules Henri Poincaré
(1854–1912)

Termodynamikai hőmérséklet

hőtranszfer irányára a két hőkontaktusra hozott rendszer között



$$P(t_0 + \Delta t) > P(t_0)$$

$$\ln(P(t_0 + \Delta t)) > \ln(P(t_0)); P \sim \Omega; \Omega_{A/B} = \Omega_A \cdot \Omega_B$$

$$\ln(\Omega_A(t_0 + \Delta t) \cdot \Omega_B(t_0 + \Delta t)) > \ln(\Omega_A(t_0) \cdot \Omega_B(t_0))$$

$$\ln(\Omega_A(t_0 + \Delta t)) + \ln(\Omega_B(t_0 + \Delta t)) > \ln(\Omega_A(t_0)) + \ln(\Omega_B(t_0))$$

$$\ln(\Omega_A(t_0 + \Delta t)) - \ln(\Omega_B(t_0)) + \ln(\Omega_B(t_0 + \Delta t)) - \ln(\Omega_A(t_0)) > 0$$

$$d \ln(\Omega_A) + d \ln(\Omega_B) > 0$$

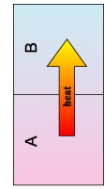
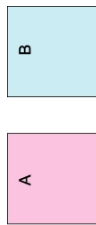
Termodynamikai hőmérseklet

$$\frac{\partial \ln(\Omega_A)}{\partial E}(-dE) + \frac{\partial \ln(\Omega_B)}{\partial E}dE > 0$$

$$\frac{\partial \ln(\Omega_B)}{\partial E} > \frac{\partial \ln(\Omega_A)}{\partial E}$$

$$\beta = \frac{\partial \ln(\Omega)}{\partial E}$$

$$\frac{1}{k_B T} \equiv \beta$$



Statisztikus sokaságok

Summary of ensembles	Ensembles		
	Microcanonical	Canonical	Grand canonical
Variables (suppressed constant for ensemble)	E, N, V	T, N, V	T, μ, V
Microscopic features	Number of microstates Ω	Canonical partition function $Z = \sum_k e^{-\beta E_k}$	Grand canonical partition function $\Xi = \sum_k e^{-\beta(E_k - \mu N_k)}$
Macroscopic function	$S = k_B \ln \Omega$	$F = -k_B T \ln Z$	$F - \mu N = -k_B T \ln \Xi$

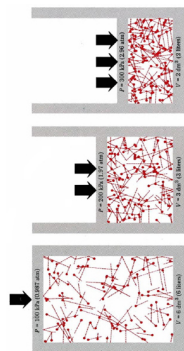
Termodynamikai mennyiségek származtatása a kanonikus eloszlásból

Helmholtz free energy:	$F = -\frac{\ln Z}{\beta}$
Internal energy:	$U = -\left(\frac{\partial \ln Z}{\partial \beta}\right)_{N,V}$
Pressure:	$P = -\left(\frac{\partial F}{\partial V}\right)_{N,T} = \frac{1}{\beta} \left(\frac{\partial \ln Z}{\partial V}\right)_{N,T}$
Entropy:	$S = k(\ln Z + \beta U)$
Gibbs free energy:	$G = F + PV = -\frac{\ln Z}{\beta} + \frac{V}{\beta} \left(\frac{\partial \ln Z}{\partial V}\right)_{N,T}$
Enthalpy:	$H = U + PV$
Constant volume heat capacity:	$C_V = \left(\frac{\partial U}{\partial T}\right)_{N,V}$
Constant pressure heat capacity:	$C_P = \left(\frac{\partial H}{\partial T}\right)_{N,P}$
Chemical potential:	$\mu_i = -\frac{1}{\beta} \left(\frac{\partial \ln Z}{\partial N_i}\right)_{T,V,N}$

Nyomás

Nyomás: a tartály falával ütköző molekulák, a falra erőt fejtenek ki

Az ütközésben a részecske sebességeinek a fallal párhuzamos összetevője változatlan marad, a falra merőleges összetevő irányába ellenkezőjére változik, miközben nagysága ugyanakkor marad.



Termodynamikai mennyiségek származtatása a nagykanonikus eloszlásból

Grand potential:	$\Phi_G = -\frac{\ln \Xi}{\beta}$
Internal energy:	$U = -\left(\frac{\partial \ln \Xi}{\partial \beta}\right)_\mu + \sum_i \frac{\mu_i}{\beta} \left(\frac{\partial \ln \Xi}{\partial \mu_i}\right)_\beta$
Particle number:	$N_i = \frac{1}{\beta} \left(\frac{\partial \ln \Xi}{\partial \mu_i}\right)_\beta$
Entropy:	$S = k(\ln \Xi + \beta U - \beta \sum_i \mu_i N_i)$
Helmholtz free energy:	$F = \Phi_G + \sum_i \mu_i N_i = -\frac{\ln \Xi}{\beta} + \sum_i \frac{\mu_i}{\beta} \left(\frac{\partial \ln \Xi}{\partial \mu_i}\right)_\beta$

az idő folyásának termodynamikai irányára a második főtétel alapján

Nincs olyan folyamat, amelynek eredménye, hogy hő megy át hidegebb testről melegebbre.

Monotermikus körfolyamat nem végezhet munkát.

Zárt rendszer entrópiája nem csökkenhet.

Az idő folyásának iránya

Johann Josef Loschmidt (1876)

Az időben szimmetrikus mechanikai mozgás segyenetekből nem következhetnek irreverzibilis folyamatok.

A termodynamika második főtételle egyértelműen aszimmetrikus időben.

Paradoxon: Mind a mechanika mind a termodynamika komoly elméleti és kísérleti alapokkal rendelkezik, de a kettő ellentmondani látszik egymásnak.

$$S = -n \cdot k_B \cdot H$$

Boltzmann H-tétele

$$H = \int \rho(q, p, t) \ln \rho(q, p, t) d^n q d^n p$$

Ludwig Boltzmann (1872)

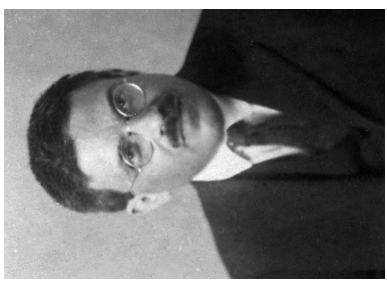
H a t idővel állandóan csökken vagy legfeljebb állandó marad, ha H elérte minimumát.

hallgatólagos feltevés (a molekuláris káosz hipotézise): az egyes gázmolekulák impulzusai korrelációinak és a helytől függetlenek az ütközés előtt

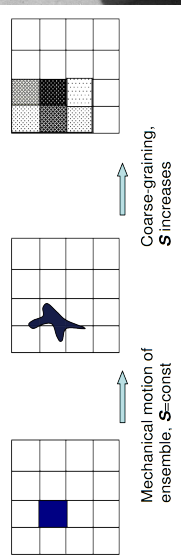
Loschmidt paradoxona

Loschmidt paradoxona

Coarse graining

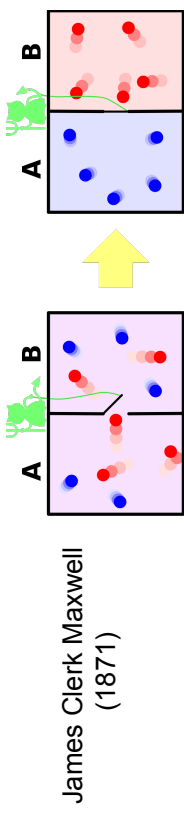


Paul Ehrenfest (1911)



Mechanical motion of ensemble. $S = \text{const}$

Maxwell démon



James Clerk Maxwell (1871)

Szilárd Leó (1929): a Maxwell démonnak mérnie kell ami energia befektetést igényel. A démon-gáz együttes rendszer entrópiája nő.

Rolf Landauer (1960): Nem a mérés, hanem a begyűjtött információ törlése jár szüksékképpen entrópia növekedéssel: bitenként $\Delta S = k_B \cdot \ln 2$

Paul Ehrenfest (1880 – 1933)

A Landauer elv

Szoros kapcsolat van az információ és az entrópia között.

informare (latin) - formálni, alakítani a másik gondolatait

Egy bit információ törlésekkel keletkező hő:

$$\langle Q \rangle = -T \Delta S = k_B T \ln 2 = Q_{Landauer}$$

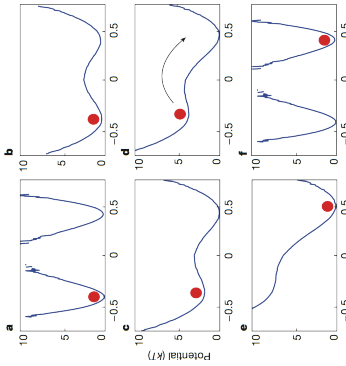
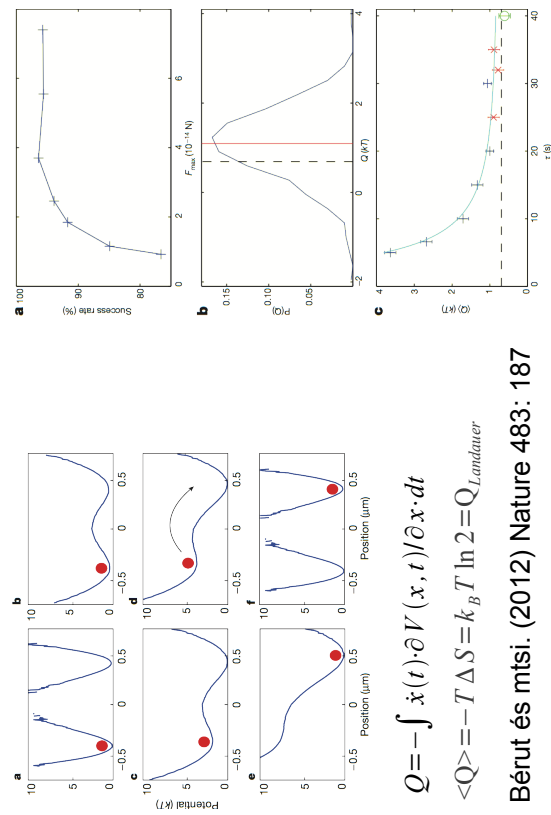
$$Q_{Landauer} = 3 \cdot 10^{-21} J, \text{ ha } T = 300 K$$

$$Q = - \int \dot{x}(t) \cdot \partial V(x, t) / \partial x \, dt$$

$$\langle Q \rangle = -T \Delta S = k_B T \ln 2 = Q_{Landauer}$$

Bérut és mtsi. (2012) Nature 483: 187

A Landauer elv kísérleti igazolása



A Landauer elv

Kis rendszerek fluktuálmak

N darab ideális gáz atom

az atomok mozgási energiája Maxwell-Boltzmann eloszlást követ.

$$\langle E_{\delta N_{\Sigma}} \rangle = \frac{3}{2} N k_B T$$

$$\text{Var}(E_{\delta N_{\Sigma}}) = \frac{3}{2} N (k_B T)^2$$

$$\text{Szórás}(E_{\delta N_{\Sigma}}) = \sqrt{\frac{3}{2} N (k_B T)}$$

a fluktuáció \sqrt{N} nagyságrendű

Evans-Searles fluktuációs tételek

Denis J Evans, Ezechiel DG Cohen, Gary P Morris (1993)
Denis J Evans, Debra J Searles (1994)

$$\frac{P(\bar{\Omega}_t = A)}{P(\bar{\Omega}_t = -A)} = e^{At}$$

ahol $\bar{\Omega}_t$ az entrópiatermelés t időre vett időátlaga

Nem-egyensúlyi rendszerek

Ha $\rho(q, p)$ a rendszer valószínűség sűrűsége függvénye a fázistérben

termodynamiikai egyensúlyban: $\frac{\partial \rho(q, p, t)}{\partial t} = 0$

nem-egyensúlyi rendszerre: $\frac{\partial \rho(q, p, t)}{\partial t} \neq 0$

- ha energiacsere zajlik, a rendszer nincs egyensúlyban
- az elő rendszerek nincsenek egyensúlyban
- a klasszikus termodynamika nem alkalmazható a nemegyensúlyi rendszerekre

Fluktuációs tételek kiinduló feltevései

- az állapotok kezdeti eloszlása szimmetrikus az idő irányának megfordítására
- reverzibilis mikroszkópikus dinamika
- ergodikusan konzisztsz
- nem-egyensúlyi kiinduló állapot
- determinisztikus rendszer
- kaotikus hipotézis (az ergodikus hipotézis általánosítása nem-egyensúlyi állapotokra)

Evans-Searles fluktuációs tétele alkalmazása

- dinamikus egysúlyban lévő rendszerekben megmondja a második főtételek sérülésének gyakoriságát relaxáciát az egysúly felé

Evans-Searles fluktuációs tétele levezetése

- determinisztikus
- stochasztikus

Evans-Searles fluktuációs tétele különböző alakjai

Isokinetic dynamics	$\ln \frac{\rho(\bar{J} = A)}{\rho(J_i = -A)} = -A F_c \beta V$
Isothermal-isobaric ^c	$\ln \frac{\rho(\overline{T} = A)}{\rho(T_i = -A)} = -A F_c \beta$
Isoenergetic	$\ln \frac{\rho(\bar{J} = A)}{\rho(J_i = -A)} = -A F_c \beta V$
Isokinetic boundary driven flow	$\ln \frac{\rho(\bar{A} = A)}{\rho(A_i = -A)} = -A t$
Nose-Hoover (canonical) dynamics	$\ln \frac{\rho(\bar{J} = A)}{\rho(J_i = -A)} = -A F_c \beta V$
Wall ergostatted field driven flow ^c	$\ln \frac{\rho(\overline{T_{\text{wall}}(s)} = A)}{\rho(T_{\text{wall}}(s) = -A)} = -A F_c \beta V \quad \text{or} \quad \ln \frac{\rho(\bar{A} = A)}{\rho(A_i = -A)} = -A t$
Wall thermostatted field driven flow ^c	$\ln \frac{\rho(\bar{A} = A)}{\rho(A_i = -A)} = -A F_c \beta V - \ln (\langle \exp [A_i t (1 - \beta_{\text{swan}} / \beta_{\text{swan}})] \rangle_{I = A})$
Relaxation of a system with a non-homogeneous density profile imposed using a potential $\Phi_g(\mathbf{q})$; initial canonical distribution	$\ln \left(\frac{\int_0^t d\tau \Phi_g(s)}{\rho(\int_0^t d\tau \Phi_g(s) = -A)} \right) = -A \beta$
Adiabatic response to a colour field	$\ln \frac{\rho(\bar{J} = A)}{\rho(J_i = -A)} = -A F_c \beta V$
Isoenergetic dynamics with a stochastic force ^d	$\ln \frac{\rho(\bar{J} = A)}{\rho(J_i = -A)} = -A F_c \beta V \quad \text{or} \quad \ln \frac{\rho(\bar{A} = A)}{\rho(A_i = -A)} = -A t$
Steady state isoenergetics dynamics ^e	$\ln \frac{\rho(\overline{T_f} = A)}{\rho(T_f = -A)} = -A F_c \beta V - \ln \left(\left\langle \exp \left[F_c V \left(\int_0^{t_0} J(s) \beta(s) ds \right) \right] \right\rangle_{J, \beta = A} \right)$ $= -A F_c \beta V - \ln \left(\left\langle \exp \left[F_c V \left(\int_0^{t_0} J(s) \beta(s) ds \right) \right] \right\rangle_{J, \beta = A} \right)$ $+ \int_{A_0 + t}^{2t_0 + t} J(s) \beta(s) ds$

Evans és Searles (2002)
Advances in Physics,
51: 1529

Evans-Searles fluktuációs tétele jelentősége

- a második főtérel kiterjesztése
- analitikus kifejezést ad a jelenségek valószínűségére
- érvényes az egysúlytól távoli (nemlineáris) tartományban
- érvényes kicsi rendszerekre (nincs termodynamikai limit)
- nagyon általános, sokféle rendszerre és disszipációra kidolgozott változata létezik
- a nano-rendszerek nem a makroszkopikus megfelelőjüknek a lekicsinyített változatai, alapvetően más képp viselkednek